

# Moderne Experimentalphysik III: Teilchenphysik

Sommersemester 2018

Thomas Müller, Roger Wolf

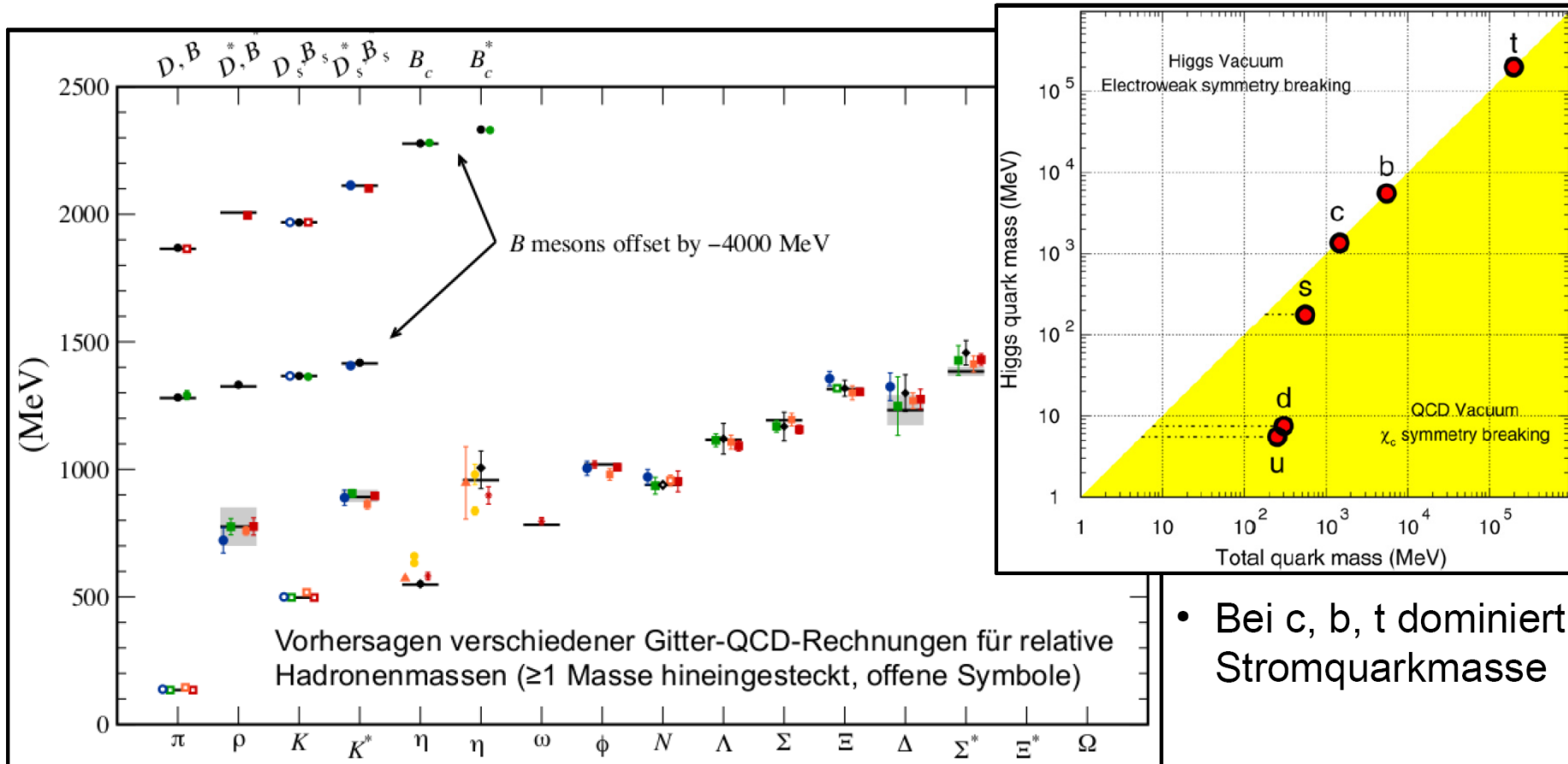
05. Juni 2018 – VL 11

Institut für Experimentelle Teilchenphysik (ETP)



# Hadronmassen ↔ Quarkmasse

- Massen der Hadronen aus leichten Quarks (u, d, s) **viel größer als Stromquarkmassen** ( $m_N = 940 \text{ MeV}$ ,  $m_\pi = 140 \text{ MeV}$ ,  $m_K = 500 \text{ MeV}$ )
- Physikalischer Grund: Großteil der Masse aus Bindungsenergie



- Bei c, b, t dominiert Stromquarkmasse

# Schwere Quarks

---

- **Paarweise Erzeugung** in starker oder elektromagnetischer WW ( $\rightarrow$  Flavor QZ erhalten)
- Mesonen mit c- oder b-Quarks: **lange Lebensdauer** ( $\mathcal{O}(10^{-12} - 10^{-13})$  s)  $\rightarrow$  Zerfall durch schwache WW
- **Sonderstellung t-Quark**: Zerfall nach ca.  $10^{-25}$  s (deutlich vor der Ausbildung von Hadronen bei etwa  $10^{-23}$  s)

# Quarkonium

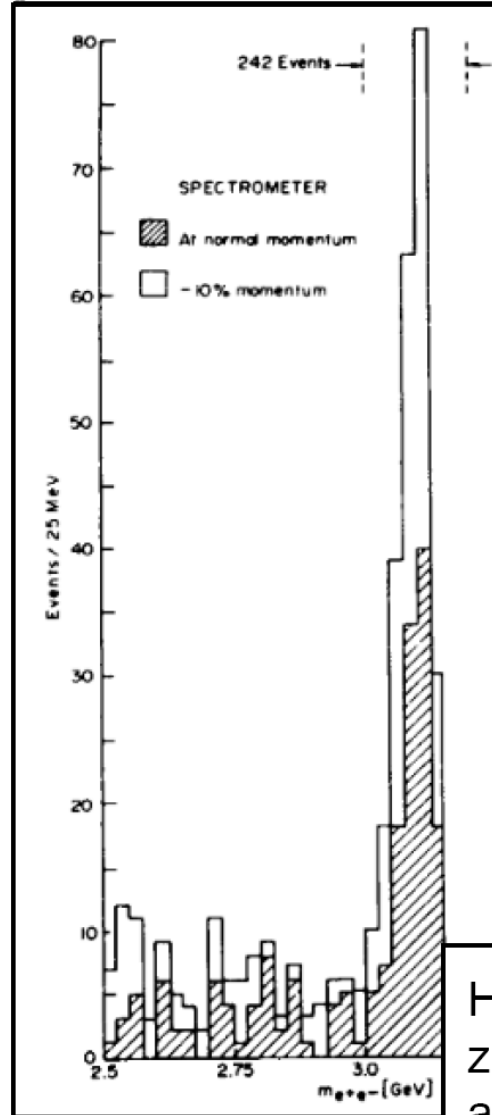
---

- Gebundenes **Quark-Antiquark-System**, Quarks von gleichem flavor
- QCD-Analogon zu Positronium
- Bewegung eines Quarks im Potential des anderen erlaubt **Rückschlüsse auf QCD Potential**
- Bekannte Quarkonia: Charmonium ( $c\bar{c}$ ), Bottomonium ( $b\bar{b}$ )

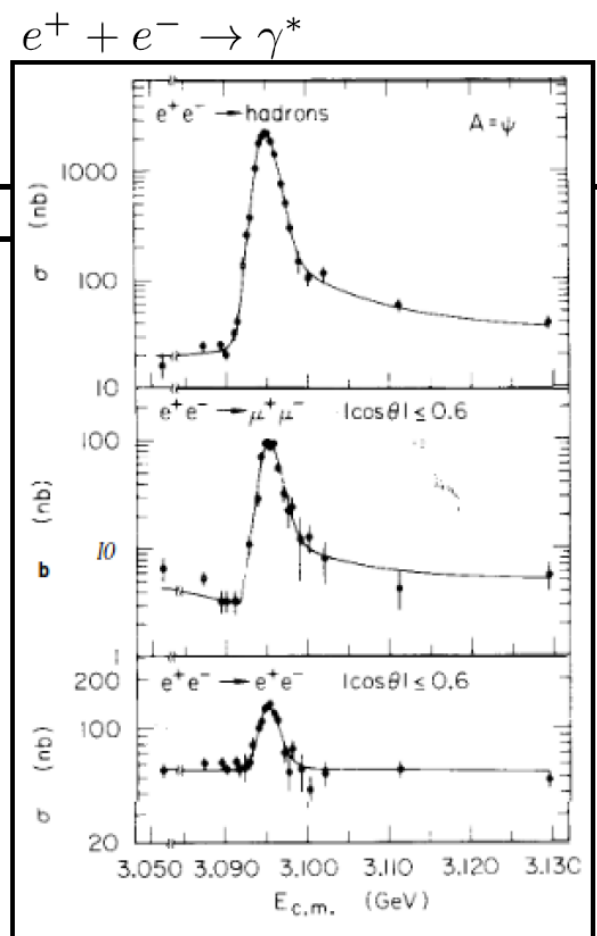
# Entdeckung des $J/\psi$

- Postulat eines 4. Quarks  
1970
- Verhindere strangeness ändernde neutrale Ströme im Quarkmodell ( $\rightarrow$  GIM-Mechanismus)
- Entdeckung des  $J/\psi$  im November 1974 durch zwei unabhängige Forschergruppen (S. Ting, BNL,  $\psi$  und B. Richter SLAC,  $J$ )
- Später Entdeckung weiterer Resonanzen
- Interpretation als gebundener  $c\bar{c}$ -Zustand

$$p + Be \rightarrow e^+ + e^- + X$$



S. Ting et al



B. Richter et al

Historisch wichtigster Schritt zur Anerkennung von Quarks als physikalische Realität

- **Eigenschaften des  $J/\psi$ :**
  - Sehr schmale Resonanz (93 keV)
  - Masse  $\sim 3$  GeV
  - Produktion in  $e^+e^- \rightarrow \gamma^* \rightarrow$  Vektor-meson, gleiche QZ, wie das Photon  
 $J^{CP} = 1^{--}$

- Weitere Anregungszustände (in spektroskopischer Notation):

Name	Anregungszustand	Masse (MeV)	Zerfallsbreite
$J/\psi$	$\psi(1S)$	3096.916(11)	0.0929(28)
$\psi'$	$\psi(2S)$	3686.109(14)	0.299(8)
$\psi(3770)$	$\psi(3S)$	3772.15(33)	27.2(10)
$\psi(4040)$	$\psi(4S)$	4039(1)	80(10)

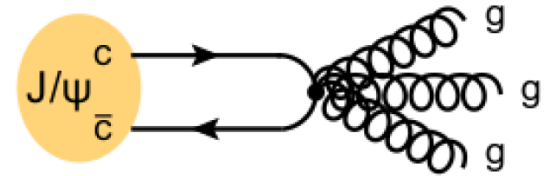
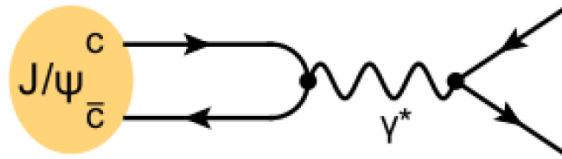
Bemerkenswerter Anstieg Zerfallsbreite

- Bis  $\psi'$  Masse unterhalb der Open-Charmschwelle ( $2 \cdot m_{D^0} \approx 3730$  MeV): Zerfall also nur möglich durch  $c\bar{c}$ -Annihilation

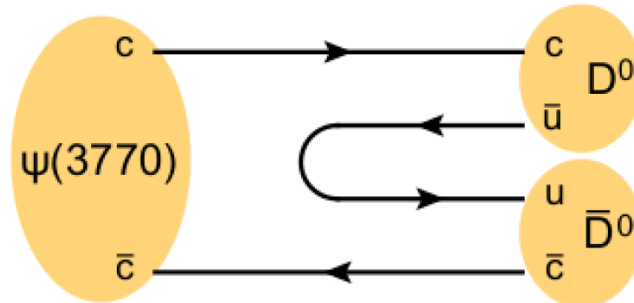
# $c\bar{c}$ -Annihilation und OZI-Regel

- $c\bar{c}$ -Annihilation:

- Erlaubte Zerfälle:



- Oberhalb der **Open-Charm-Schwelle**, auch weitere Zerfallsprozesse erlaubt:



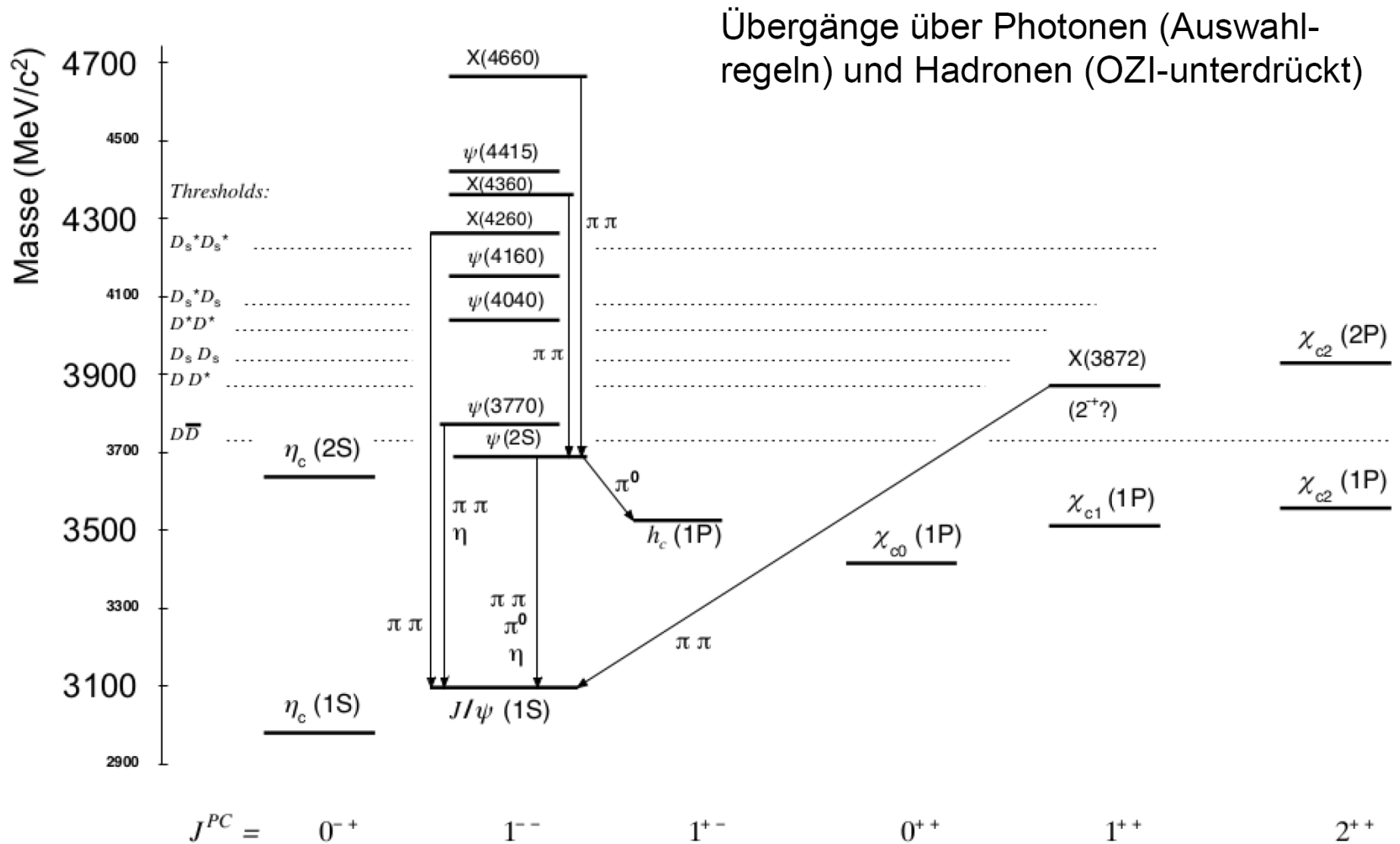
- Trotz starker WW ist auch dieser Zerfall unterdrückt ( $\rightarrow$  Okubo-Zweig-Iizuka, OZI-Regel)

## OZI-Regel:

Zerfälle durch Feynman-Diagramme mit nicht verbundenen Quarklinien sind unterdrückt

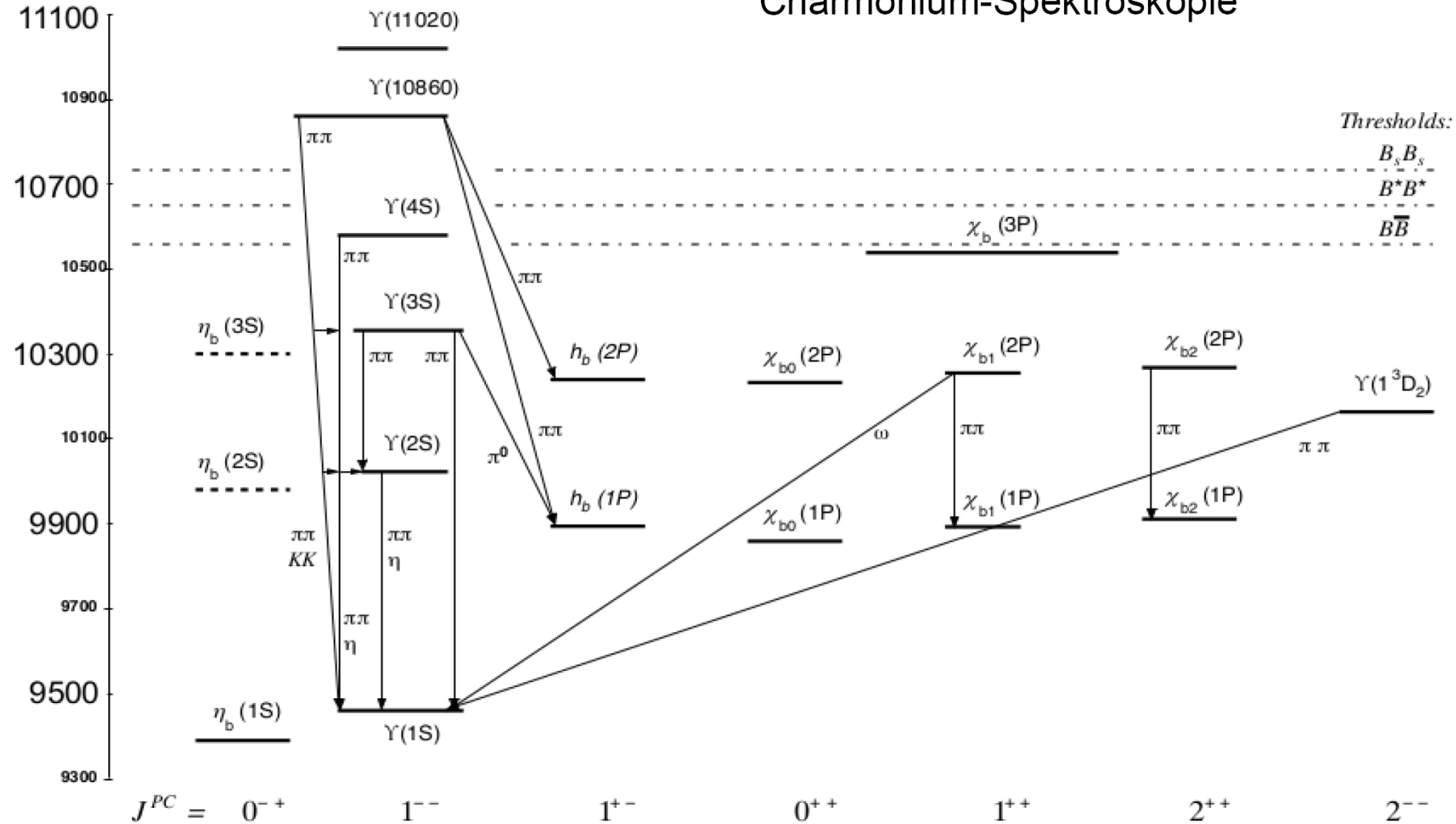
Grund: Verbindung mit Gluonen erfordert hohen Impulsübertrag  $\rightarrow$  kleine Kopplung

# Termschema Charmonium



# Termschema Bottomonium

Masse (MeV/c<sup>2</sup>)



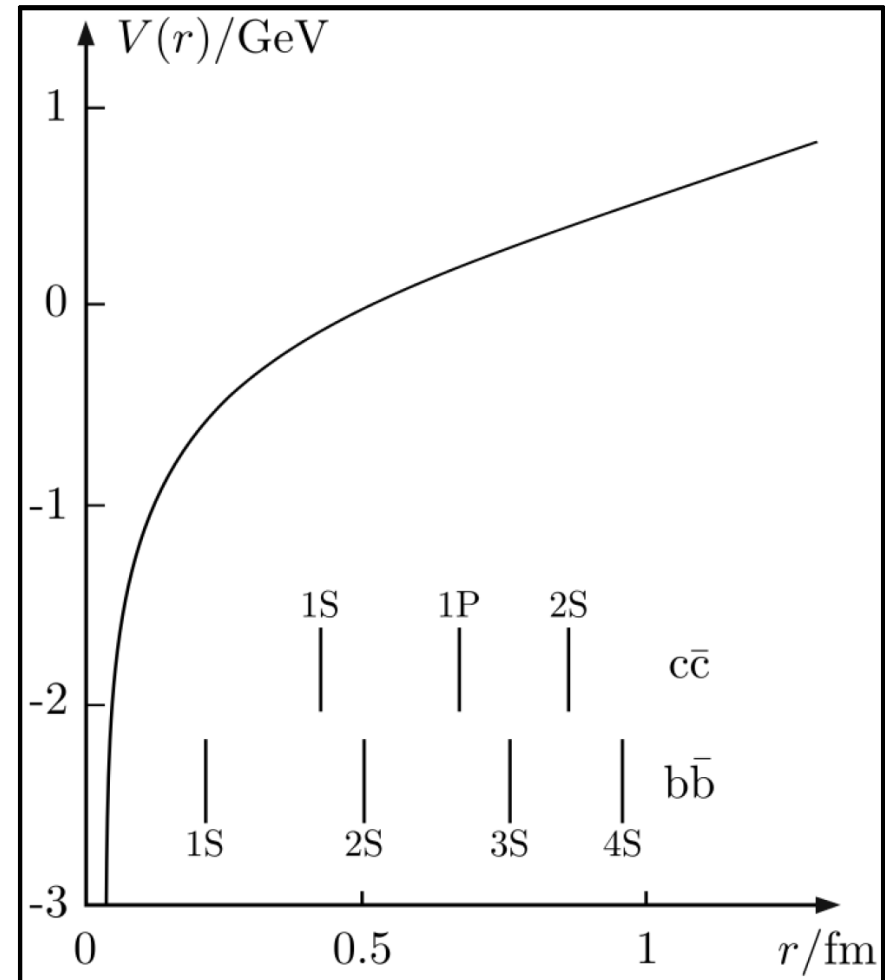
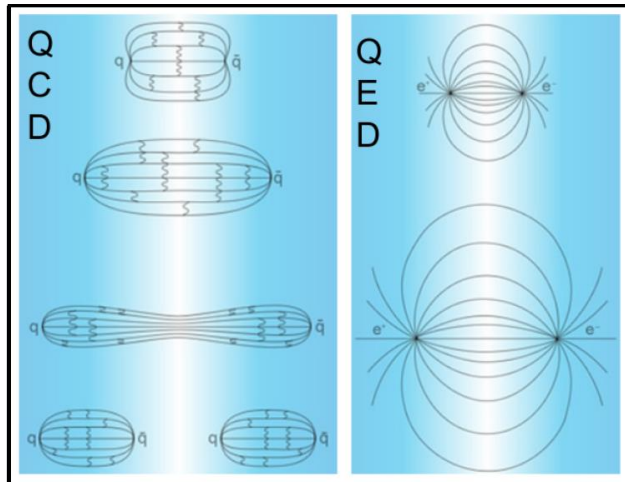
Bottomonium-Spektroskopie analog zu Charmonium-Spektroskopie

## 5.3 Das statische Potential der QCD

- Gebundene  $c\bar{c}$ - und  $b\bar{b}$ -Zustände: Ähnlichkeiten mit Positronium
- Ansatz für statisches **QCD Potential**: (Cornell-Potential)

$$V(r) = -\frac{4}{3} \frac{\alpha_s(1/r^2) \hbar c}{r} + k r$$

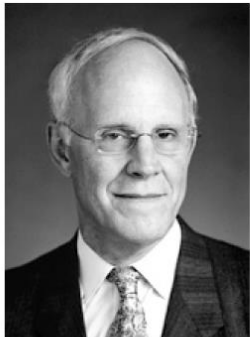
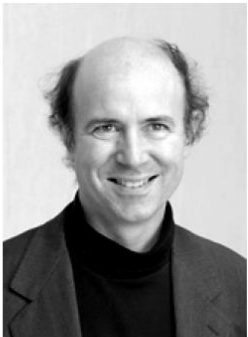
- Kurze Abstände: Austausch einzelner Gluonen ( $\rightarrow$  coulombartige WW)
- Große Abstände ( $r \gtrsim 0.5$  fm): QCD-confinement  $\rightarrow$  lineares Potential (Farbstring mit  $k \approx 1$  GeV/fm)



## 5.4 Die Farbkraft

### Asymptotische Freiheit in der QCD

- Bei extrem kurzen Abständen sollten sich die Quarks entsprechend der QCD (Wilzeck, Gross, Politzer) wie nahezu freie Teilchen verhalten
  - ↳ **asymptotische Freiheit**
  - dieser Effekt der QCD ermöglicht die Anwendung des Quark-Parton Modells zur Interpretation der tiefinelastischen eN-Streuung



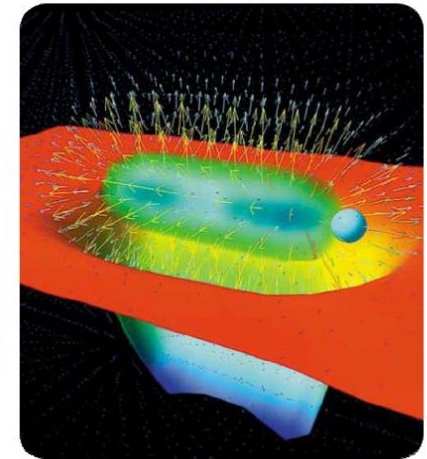
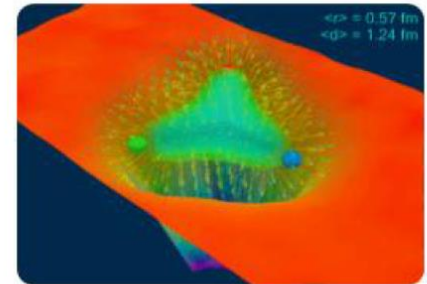
Nobelpreis 2004



KUNGL.  
VETENSKAPSAKADEMIEN  
THE ROYAL SWEDISH ACADEMY OF SCIENCES



"for the discovery of asymptotic freedom in the theory of the strong interaction"



Frank Wilczek David J. Gross H. David Politzer

# Farbe als Freiheitsgrad in Hadronenwellenfunktionen

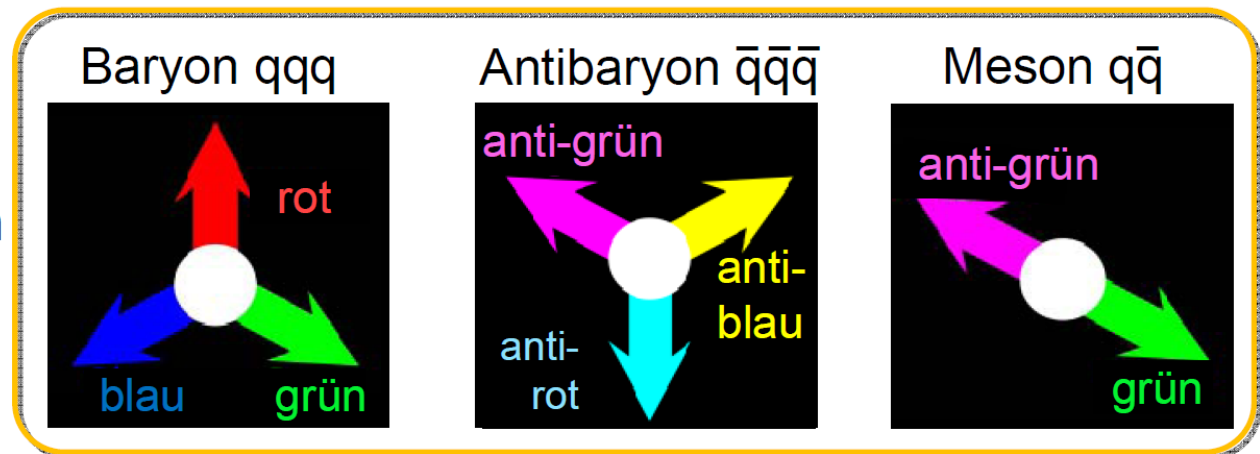
- Baryonen und Mesonen sind nach außen stets QCD - 'farbneutrale' Objekte, d.h. alle **Hadronen** befinden sich in einem **Farb-Singulett-Zustand**

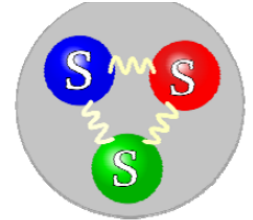
**Baryonen:** 3 Farben (**rgb**)

**Mesonen:** 1 Farbe & 1 Anti-Farbe

- Für Mesonen ergeben sich damit folgende 'Farb-Wahrscheinlichkeiten'
  - $\frac{1}{3}$  für rot-antirot,
  - $\frac{1}{3}$  für blau-antiblau
  - $\frac{1}{3}$  für grün-antigrün

- Der Farbzustand von Quarks ändert sich andauernd durch den Austausch von Gluonen (tragen ebenfalls Farbe)





- Der **Farb-Singulett-Zustand** eines Baryons ist wichtig zur Erfüllung eines verallgemeinerten Pauli-Prinzips:  
**die Gesamtwellenfunktion eines Baryons muss unter Berücksichtigung aller Quark-Freiheitsgrade antisymmetrisch sein (Baryon = Fermion !)**
- Die  $\Delta^{++}$  Resonanz (uuu) & das  $\Omega^-$  (sss) verletzen ohne die Existenz des Farb-Freiheitsgrades das Pauli-Prinzip, Beispiel:  $\Delta^{++}$  Wellenfunktion

$$\Delta^{++} = \underbrace{|uuu\rangle}_{\text{Flavour}} \cdot \underbrace{|\uparrow\uparrow\uparrow\rangle}_{\text{Spin}} \cdot \underbrace{|\ell = 0\rangle}_{\text{Orbital-}\ell}$$

symmetrische Gesamtwellenfunktion

$$\Delta^{++} = \underbrace{|uuu\rangle}_{\text{Flavour}} \cdot \underbrace{|\uparrow\uparrow\uparrow\rangle}_{\text{Spin}} \cdot \underbrace{|\ell = 0\rangle}_{\text{Orbital-}\ell} \cdot \underbrace{\left| \frac{1}{\sqrt{6}} \varepsilon^{ijk} q_i q_j q_k \right\rangle}_{\text{Farbfreiheitsgrade}}$$

$\varepsilon_{ijk} = +1$  für gerade Permutation  
 $\varepsilon_{ijk} = -1$  für ungerade Permutation  
 $\varepsilon_{ijk} = 0$  für 2 gleiche Indices (Farben)

mit **Farbfreiheitsgraden**: anti-symmetrische  $\Delta^{++}$  Gesamtwellenfunktion

- Die Antisymmetrisierung am Beispiel des  $\Delta^{++}$ :

$$\Psi_{Farbe} (Baryon) = \frac{1}{\sqrt{6}} \varepsilon^{ijk} q_i \cdot q_j \cdot q_k$$

Summation über die Farbindices  $i, j, k$  von 1 bis 3

Antisymmetrische Darstellung der Farbfreiheitsgrade:

$$\Psi_{Farbe} (\Delta^{++}) = \frac{1}{\sqrt{6}} |RGB + BRG + GBR - GRB - BGR - RBG \rangle$$

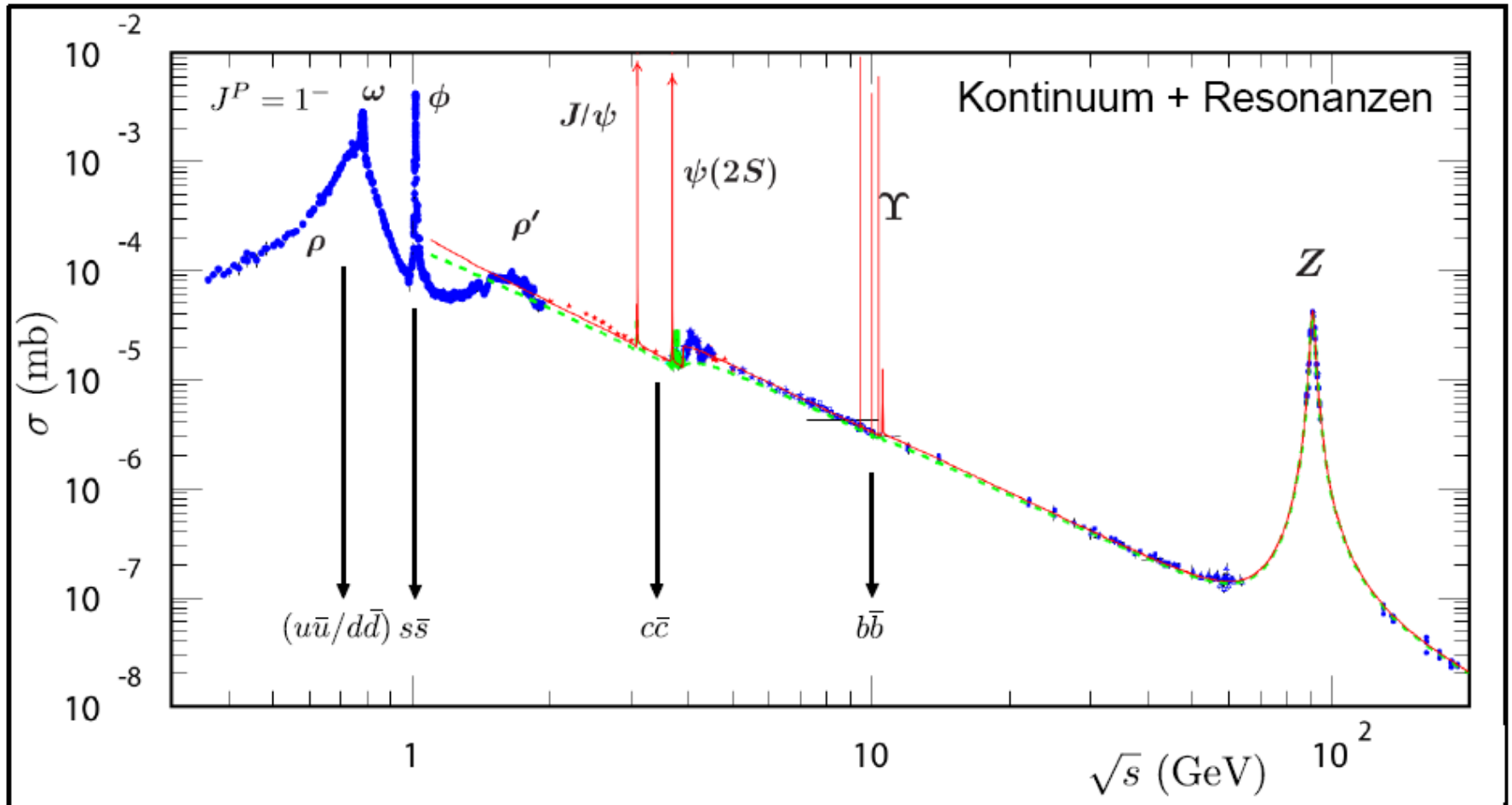
Beispiel: nach Vertauschung der beiden Farbfreiheitsgrade RG ergibt sich:

$$\begin{aligned} \Psi'_{Farbe} (\Delta^{++}) &= \frac{1}{\sqrt{6}} |GRB + BGR + RBG - RGB - BRG - GBR \rangle \\ &= -\Psi_{Farbe} \end{aligned}$$

**Die Gesamtwellenfunktion des  $\Delta^{++}$  Baryons ist unter Berücksichtigung aller Quark-Freiheitsgrade wie gefordert antisymmetrisch**

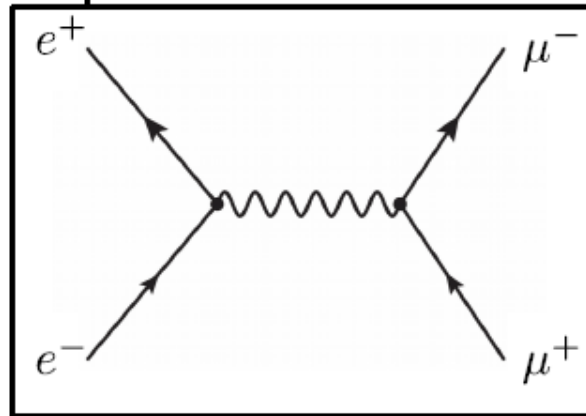
# Farbfreiheitsgrad in e+e- Kollisionen

- Zweiter wichtiger Hinweis auf Farbe als weiteren **internen Freiheitsgrad der QM**



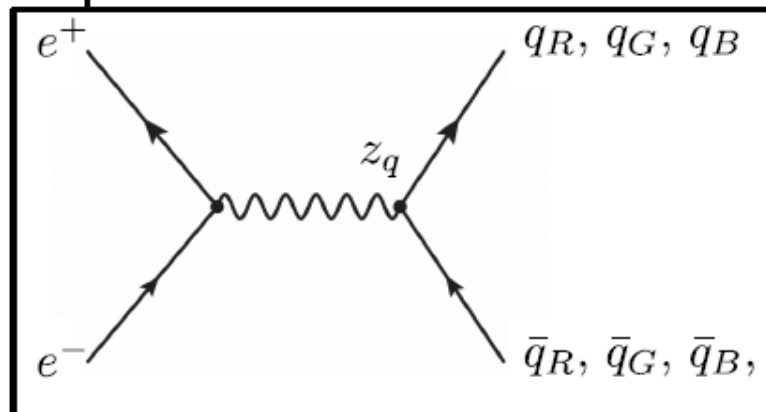
Wirkungsquerschnitt für Myonproduktion:

$$\sigma(e^+e^- \rightarrow \mu^+\mu^-) = \frac{4\pi}{3} \frac{\alpha^2 (\hbar c)^2}{s}$$



Wirkungsquerschnitt für  
**Hadronproduktion:**

$$\sigma(e^+e^- \rightarrow q\bar{q}) = \sum_q \underbrace{N_c z_q^2}_{\text{Hadron-spezifisch}} \underbrace{\frac{4\pi}{3} \frac{\alpha^2 (\hbar c)^2}{s}}_{\text{Fermion-spezifisch}}$$



Experimentell einfacher zugänglich:

$$R(s) = \frac{\sigma(e^+e^- \rightarrow q\bar{q})}{\sigma(e^+e^- \rightarrow \mu^+\mu^-)} = N_c \sum z_q^2$$

